

PERBEDAAN EEG EPILEPSI DENGAN MENGGUNAKAN WAVELET PADA ELEKTRODA FP2-FP1 DAN F3-F7

Siswandari Noertjahjani

Jurusan Teknik Elektro Fakultas Teknik [10 pts]

Universitas Muhammadiyah Semarang

Jl. Kasipah no 10 -12 Semarang – Indonesia

e-mail : siswandari@unimus.ac.id

ABSTRACT

Electroencephalogram (EEG) telah digunakan untuk klinis diagnosa epilepsi selama beberapa dekade. Jika dibandingkan dengan metode lain seperti *Electrocorticogram* (ECOG), EEG adalah metode yang aman untuk mendeteksi aktivitas otak. Analisis klinis atas EEG untuk pengidentifikasi kejang adalah tepat. Namun, *performance* EEG secara otomatis berbasis metode yang tergantung pada jenis fitur yang dianalisis dan bagaimana EEG digunakan untuk mengklasifikasikan sinyal. Sinyal yang digunakan FP1-FP2 dan F3-F7.

Epilepsi merupakan salah satu penyakit neurologis yang utama. Epilepsi didefinisikan sebagai suatu sindrom yang ditandai oleh gangguan fungsi otak yang bersifat sementara dan paroksismal. Wavelet adalah alat analisis frekuensi-waktu yang efektif untuk dianalisis sinyal transien.

Keywords : epilepsy, wavelet, normal

1. PENDAHULUAN

A. Ketentuan Umum

Epilepsi adalah penyakit otak yang cukup banyak dijumpahi di Indonesia. Diperkirakan prevalensi epilepsi berkisar antara 1,0 – 1,2 %, sehingga di Indonesia dengan jumlah penduduk 210.000.000 orang populasi penderita epilepsi diperkirakan lebih kurang 2.100.000 orang (Agus, 2004). Epilepsi berasal dari bahasa Yunani (Epilepsia) yang berarti

'seizure'. Sifat ekstraksi dan representasi fiturnya bisa jadi digunakan untuk menganalisa berbagai kejadian transien dalam sinyal biomedis. Melalui Dekomposisi wavelet dari rekaman EEG, fitur transien secara akurat ditangkap dan dilokalkan baik dalam konteks waktu dan frekuensi (Acharya UR, 2012; A. Subasi, 2007; Z. Djurovic D, 2014; T. Gandhi, 2011). Metode konvensional untuk mendiagnosis serangan epilepsi

bergantung pada mendekripsi adanya fitur sinyal tertentu oleh pengamat. Satu-satunya pemeriksaan yang membantu diagnosa penderita epilepsi adalah rekaman *electroencephalogram* (EEG). Perekaman EEG dilakukan secara terus menerus selama jangka waktu beberapa hari dan akibatnya sebagian besar data kemudian harus dianalisis secara visual oleh para ahli agar dapat mengidentifikasi penyakit epilepsi. Namun proses ini membutuhkan banyak waktu dan menghabiskan biaya yang besar. Oleh karena itu diperlukan pembuatan sistem analisis dan interpretasi penyakit epilepsi berbasis komputer.

2. PERSAMAAN MATEMATIKA

2.1 Jenis-jenis wavelet

2.1.1 Haar

Pembahasan tertentu tentang GS dimulai dengan Haar, pembahasan pertama yang paling sederhana. Haar adalah fungsi yang putus, dan menyerupai fungsi tahap. Fungsi dan bentuk GS Haar (yang pertama) adalah:

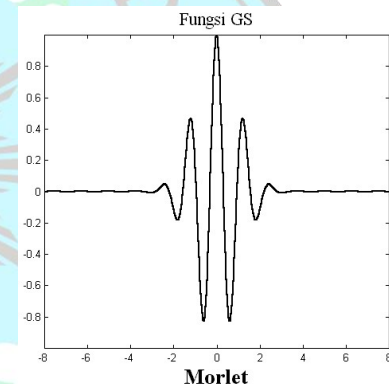
$$\begin{aligned}\psi(x) &= 1 && \text{jika } 0 \leq x < \frac{1}{2} \\ \psi(x) &= -1 && \text{jika } \frac{1}{2} \leq x < 1 \\ \psi(x) &= 0 && \text{jika } x \notin [0, 1] \\ \phi(x) &= 1 && \text{jika } x \in [0, 1] \\ \phi(x) &= 0 && \text{jika } x \notin [0, 1]\end{aligned}$$

2.1.2 Daubechies

Ingrid Daubechies, salah satu dari bintang paling terang di dunia penelitian GS, menemukan apa yang disebut wilayah dukung rapat (*compactly supported*) ortonormal GS, jenis GS ortonormal yang terdukung secara mampat yang oleh karenanya analisis GS tertentu bisa diprediksikan.

GS ini tidak memiliki fungsi penyekalaan, tetapi bersifat eksplisit. Fungsi dan bentuk GS Morlet adalah:

$$\psi(x) = Ce^{-x^2/2} \cos(5x)$$



Gambar 1 Contoh satu bentuk Gelombang Singkat Morlets

2.1.3 Symlets

Symlet adalah GS yang hampir simetris yang diusulkan oleh Daubechies sebagai modifikasi terhadap keluarga db. Sifat-sifat dari kedua keluarga GS ini adalah sama.

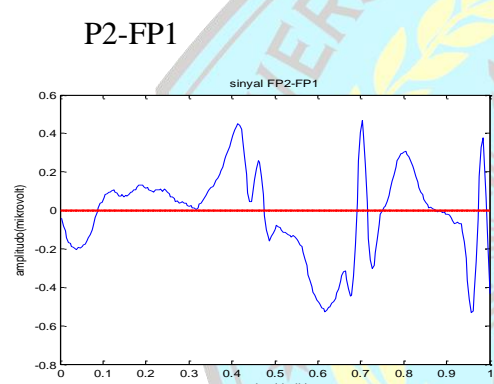
2.1.4 Biortogonal

Keluarga GS ini menunjukkan sifat-sifat fase linear, yang diperlukan untuk rekonstruksi sinyal. Dengan menggunakan dua GS ini, satu untuk dekomposisi dan yang lain untuk rekonstruksi sebagai pengganti GS tunggal, sifat-sifat yang menarik bisa dihasilkan.

3. PEMBAHASAN

4.2.1 Analisis Sinyal EEG sewaktu ada *seizure* pada elektrode

1.



Gambar 2 Sinyal EEG sewaktu seizure pada elektroda FP2-FP1

Tabel 1. GS terhadap koef absolute value elektroda FP2-FP1 sewaktu seizure

| GS | dat a=b | skal a=a | i | im ax | pos isi | dur asi |
|-----|------------|-------------|------|---------------|------------------|-------------------|
| dB1 | 162 | 58 | 3.51 | 41 23 3 | 0.6 11 3 | 0.2 289 266 |
| dB2 | 153 | 61 | 3.63 | 38 43 1 | 0.5 82 938 | 0.2 383 |

| | | | | | | |
|------|-----|----|------|----|-----|-----|
| dB3 | 144 | 60 | 3.69 | 36 | 0.5 | 0.2 |
| | | | 14 | 52 | 586 | 344 |
| | | | 5 | | | |
| dB4 | 134 | 65 | 3.52 | 33 | 0.5 | 0.2 |
| | | | 85 | 98 | 195 | 539 |
| | | | 0 | | | |
| dB5 | 162 | 56 | 3.76 | 41 | 0.6 | 0.2 |
| | | | 78 | 11 | 289 | 188 |
| | | | 1 | | | |
| dB6 | 154 | 59 | 3.84 | 39 | 0.5 | 0.2 |
| | | | 05 | 07 | 977 | 305 |
| | | | 4 | | | |
| dB7 | 145 | 61 | 3.82 | 36 | 0.5 | 0.2 |
| | | | 99 | 78 | 625 | 383 |
| | | | 1 | | | |
| dB8 | 136 | 64 | 3.75 | 34 | 0.5 | 0.2 |
| | | | 10 | 48 | 273 | 500 |
| | | | 9 | | | |
| dB9 | 126 | 68 | 3.64 | 31 | 0.4 | 0.2 |
| | | | 35 | 94 | 883 | 656 |
| | | | 3 | | | |
| dB1 | 158 | 58 | 3.60 | 40 | 0.6 | 0.2 |
| 0 | | | 39 | 09 | 133 | 266 |
| | | | 3 | | | |
| Dm | 178 | 49 | 3.37 | 45 | 0.6 | 0.1 |
| ey | | | 82 | 18 | 914 | 914 |
| | | | 4 | | | |
| Coif | 145 | 49 | 3.51 | 36 | 0.5 | 0.1 |
| 1 | | | 91 | 76 | 625 | 914 |
| | | | 9 | | | |
| Coif | 145 | 51 | 3.41 | 36 | 0.5 | 0.1 |
| 2 | | | 67 | 77 | 625 | 992 |
| | | | 1 | | | |

| | | | | | | | |
|----------|-----|----|------|----|-----|-----|-----|
| Coif 3 | 145 | 51 | 3.29 | 36 | 0.5 | 0.1 | 992 |
| Coif 4 | 176 | 50 | 3.28 | 44 | 0.6 | 0.1 | 953 |
| Coif 5 | 176 | 50 | 3.32 | 44 | 0.6 | 0.1 | 953 |
| Sy m2 | 153 | 61 | 3.63 | 38 | 0.5 | 0.2 | 383 |
| Sy m3 | 144 | 60 | 3.69 | 36 | 0.5 | 0.2 | 344 |
| Sy m4 | 143 | 40 | 3.33 | 36 | 0.5 | 0.1 | 563 |
| Sy m5 | 152 | 43 | 3.62 | 38 | 0.5 | 0.1 | 680 |
| Sy m6 | 174 | 52 | 3.24 | 44 | 0.6 | 0.2 | 031 |
| Sy m7 | 166 | 50 | 3.58 | 42 | 0.6 | 0.1 | 953 |
| Sy m8 | 142 | 64 | 3.30 | 36 | 0.5 | 0.2 | 500 |
| Bior 1.1 | 162 | 58 | 3.51 | 41 | 0.6 | 0.2 | 266 |

| | | | | | | | |
|----------|-----|-----|------|----|-----|-----|-----|
| Bior 1.3 | 161 | 54 | 3.96 | 40 | 0.6 | 0.2 | 109 |
| Bior 1.5 | 161 | 51 | 4.10 | 40 | 0.6 | 0.1 | 953 |
| Bior 2.2 | 140 | 95 | 4.80 | 35 | 0.5 | 0.3 | 711 |
| Bior 2.4 | 146 | 48 | 4.60 | 37 | 0.5 | 0.1 | 875 |
| Bior 2.6 | 146 | 48 | 4.59 | 37 | 0.5 | 0.1 | 875 |
| Bior 2.8 | 147 | 47 | 4.58 | 37 | 0.5 | 0.1 | 836 |
| Bior 3.1 | 156 | 255 | 14.2 | 39 | 0.6 | 0.9 | 961 |
| Bior 3.3 | 162 | 57 | 6.99 | 41 | 0.6 | 0.2 | 227 |
| Bior 3.5 | 162 | 55 | 6.65 | 41 | 0.6 | 0.2 | 148 |
| Bior 3.7 | 162 | 55 | 6.43 | 41 | 0.6 | 0.2 | 148 |
| Bior 3.9 | 162 | 53 | 6.31 | 41 | 0.6 | 0.2 | 070 |

| | | | | | | |
|-------------|-----|----|------|----|-----|-----|
| Bior 4.4 | 146 | 47 | 3.36 | 37 | 0.5 | 0.1 |
| | | | 15 | 02 | 664 | 836 |
| | | | | 2 | | |
| Bior 5.5 | 143 | 69 | 2.59 | 36 | 0.5 | 0.2 |
| | | | 42 | 27 | 547 | 695 |
| | | | | 9 | | |
| Bior 6.8 | 146 | 46 | 3.45 | 37 | 0.5 | 0.1 |
| | | | 25 | 02 | 664 | 797 |
| | | | | 1 | | |
| mor 1 | 85 | 86 | 3.03 | 21 | 0.3 | 0.3 |
| | | | 59 | 50 | 281 | 359 |
| | | | | 6 | | |
| mex h | 146 | 14 | 3.62 | 36 | 0.5 | 0.0 |
| | | | 98 | 98 | 664 | 547 |
| | | | | 9 | | |

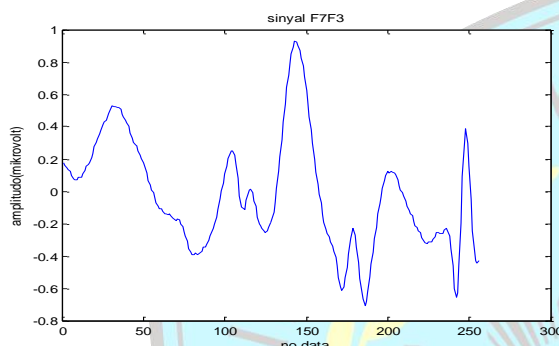
Pada tabel 1. elektroda FP2-FP1 sewaktu seizure di keluarga Daubechies (dB) korelasi terbesar (nilai absolute value) terjadi pada dB6 3,8405 di skala 59 dan data ke 154 atau posisi 0,5977 dan durasi 0,2305, di keluarga Coiflets korelasi terbesar (nilai absolute value) terjadi pada Coiflets1 3,5191 di skala 49 dan data ke 145 atau posisi 0.5625 dan durasi 0.1914, di keluarga Symlets korelasi terbesar (nilai absolute value) terjadi pada Symlets3 3,6914 di skala 60 dan data ke 144 atau posisi 0.5586 dan durasi 0.1992, di keluarga Biorthogonal korelasi terbesar (nilai absolute value) terjadi pada Biorthogonal 3.1 14.2297 di skala 86 dan data ke 85 atau posisi 0,6055 dan durasi

0,9961, di keluarga Discrete approximation of Meyer korelasi terbesar (nilai absolute value) 3.3782 di skala 49 dan data ke 178 atau posisi 0,6914 dan durasi 0,1914, di keluarga Morlet korelasi terbesar (nilai absolute value) 3,0359 di skala 49 dan data ke 178 atau posisi 0,3281 dan durasi 0,3359, dan di keluarga Mexican hat korelasi terbesar (nilai absolute value) 3.6298 di skala 14 dan data ke 146 atau posisi 0,5664 dan durasi 0.0547.

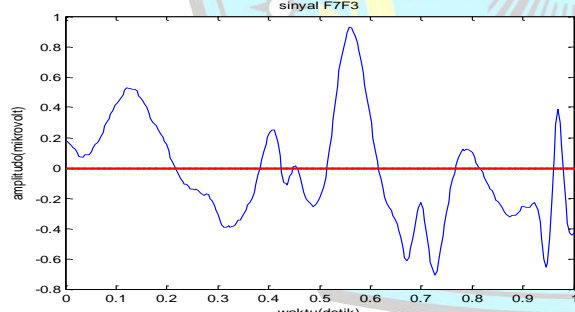
F3-F7

Pada tabel 2 elektroda F3-F7 sewaktu seizure di keluarga Daubechies (dB) korelasi terbesar (nilai absolute value) terjadi pada dB6 3,8405 di skala 59 dan data ke 154 atau posisi 0,5977 dan durasi 0,2305, di keluarga Coiflets korelasi terbesar (nilai absolute value) terjadi pada Coiflets1 3,5191 di skala 49 dan data ke 145 atau posisi 0.5625 dan durasi 0.1914, di keluarga Symlets korelasi terbesar (nilai absolute value) terjadi pada Symlets3 3.2991 di skala 60 dan data ke 144 atau posisi 0.5586 dan durasi 0.1992, di keluarga Biorthogonal korelasi terbesar (nilai absolute value) terjadi pada Biorthogonal 3.1 14.2297 di skala 86 dan data ke 85 atau posisi 0,6055 dan durasi 0,9961, di keluarga Discrete approximation of Meyer korelasi terbesar (nilai absolute value) 3.3782 di skala 49

dan data ke 178 atau posisi 0,6914 dan durasi 0,1914, di keluarga Morlet korelasi terbesar (nilai absolute value) 3,0359 di skala 49 dan data ke 178 atau posisi 0,3281 dan durasi 0,3359, dan di keluarga Mexican hat korelasi terbesar (nilai absolute value) 3.6298 di skala 14 dan data ke 146 atau posisi 0,5664 dan durasi 0.0547.



Gambar 3 Sinyal EEG (dalam data) sewaktu seizure pada elektroda F3-F7



Gambar 4 Sinyal EEG(dalam detik) sewaktu seizure pada elektroda F3-F7

Tabel 2 GS terhadap koef absolut value elektroda **F3-F7** sewaktu seizure

| GS | da | ska | i | ima | posi | dura |
|-----|----|-----|------|-----|------|------|
| | ta | la | | x | si | si |
| dB1 | 16 | 58 | 3.51 | 411 | 0.62 | 0.22 |

| | | | | | | |
|------|----|----|------|-----|------|------|
| | 2 | | 23 | 13 | 89 | 66 |
| dB2 | 15 | 61 | 3.63 | 388 | 0.59 | 0.23 |
| | 3 | | 43 | 21 | 38 | 83 |
| dB3 | 14 | 60 | 3.69 | 365 | 0.55 | 0.23 |
| | 4 | | 14 | 25 | 86 | 44 |
| dB4 | 13 | 65 | 3.52 | 339 | 0.51 | 0.25 |
| | 4 | | 85 | 80 | 95 | 39 |
| dB5 | 16 | 56 | 3.76 | 411 | 0.62 | 0.21 |
| | 2 | | 78 | 11 | 89 | 88 |
| dB6 | 15 | 59 | 3.84 | 390 | 0.59 | 0.23 |
| | 4 | | 05 | 74 | 77 | 05 |
| dB7 | 14 | 61 | 3.82 | 367 | 0.56 | 0.23 |
| | 5 | | 99 | 81 | 25 | 83 |
| dB8 | 13 | 64 | 3.75 | 344 | 0.52 | 0.25 |
| | 6 | | 10 | 89 | 73 | 00 |
| dB9 | 12 | 68 | 3.64 | 319 | 0.48 | 0.26 |
| | 6 | | 35 | 43 | 83 | 56 |
| dB1 | 15 | 58 | 3.60 | 400 | 0.61 | 0.22 |
| | 0 | 8 | | 39 | 93 | 33 |
| Dme | 17 | 49 | 3.37 | 451 | 0.69 | 0.19 |
| | y | 8 | | 82 | 84 | 14 |
| Coif | 14 | 49 | 3.51 | 367 | 0.56 | 0.19 |
| | 1 | 5 | | 91 | 69 | 25 |
| Coif | 14 | 51 | 3.41 | 367 | 0.56 | 0.19 |
| | 2 | 5 | | 67 | 71 | 25 |
| Coif | 14 | 51 | 3.29 | 367 | 0.56 | 0.19 |
| | 3 | 5 | | 91 | 71 | 25 |
| Coif | 17 | 50 | 3.28 | 446 | 0.68 | 0.19 |
| | 4 | 6 | | 64 | 75 | 36 |
| Coif | 17 | 50 | 3.32 | 446 | 0.68 | 0.19 |
| | 5 | 6 | | 67 | 75 | 36 |
| Sym | 15 | 61 | 3.63 | 388 | 0.59 | 0.23 |
| | 2 | 3 | | 43 | 21 | 38 |

| | | | | | | |
|----------|----------|----|--------------|-----------|------------|------------|
| Sym 3 | 14 4 | 60 | 3.69 14 | 365 25 | 0.55 86 | 0.23 44 |
| Sym 4 | 14 3 | 40 | 3.33 74 | 362 50 | 0.55 47 | 0.15 63 |
| Sym 5 | 15 2 | 43 | 3.62 65 | 385 48 | 0.58 98 | 0.16 80 |
| Sym 6 | 17 4 | 52 | 3.24 49 | 441 67 | 0.67 58 | 0.20 31 |
| Sym 7 | 16 6 | 50 | 3.58 44 | 421 25 | 0.64 45 | 0.19 53 |
| Sym 8 | 14 2 | 64 | 3.30 39 | 360 19 | 0.55 08 | 0.25 00 |
| Bior 1.1 | 16 2 | 58 | 3.51 23 | 411 13 | 0.62 89 | 0.22 66 |
| Bior 1.3 | 16 1 | 54 | 3.96 34 | 408 54 | 0.62 50 | 0.21 09 |
| Bior 1.5 | 16 1 | 51 | 4.10 51 | 408 51 | 0.62 50 | 0.19 92 |
| Bior 2.2 | 14 0 | 95 | 4.80 69 | 355 40 | 0.54 30 | 0.37 11 |
| Bior 2.4 | 14 6 | 48 | 4.60 88 | 370 23 | 0.56 64 | 0.18 75 |
| Bior 2.6 | 14 6 | 48 | 4.59 46 | 370 23 | 0.56 64 | 0.18 75 |
| Bior | 14 47 | 47 | 4.58 4.58 | 372 | 0.57 | 0.18 |

| | | | | | | |
|-------|---------|---------|------------|-----------|------------|------------|
| 2.8 | 7 | | 73 | 77 | 03 | 36 |
| Bior | 15 | 25 | 14.2 | 397 | 0.60 | 0.99 |
| 3.1 | 6 | 5 | 297 | 80 | 55 | 61 |
| Bior | 16 | 57 | 6.99 | 411 | 0.62 | 0.22 |
| 3.3 | 2 | | 61 | 12 | 89 | 27 |
| Bior | 16 | 55 | 6.65 | 411 | 0.62 | 0.21 |
| 3.5 | 2 | | 33 | 10 | 89 | 48 |
| Bior | 16 | 55 | 6.43 | 411 | 0.62 | 0.21 |
| 3.7 | 2 | | 29 | 10 | 89 | 48 |
| Bior | 16 | 53 | 6.31 | 411 | 0.62 | 0.20 |
| 3.9 | 2 | | 30 | 08 | 89 | 70 |
| Bior | 14 | 47 | 3.36 | 370 | 0.56 | 0.18 |
| 4.4 | 6 | | 15 | 22 | 64 | 36 |
| Bior | 14 | 69 | 2.59 | 362 | 0.55 | 0.26 |
| 5.5 | 3 | | 42 | 79 | 47 | 95 |
| Bior | 14 | 46 | 3.45 | 370 | 0.56 | 0.17 |
| 6.8 | 6 | | 25 | 21 | 64 | 97 |
| morl | 85 | 86 | 3.03 | 215 | 0.32 | 0.33 |
| | | | 59 | 06 | 81 | 59 |
| mex h | 14 6 | 14 6 | 3.62 98 | 369 89 | 0.56 64 | 0.05 47 |

4. Kesimpulan

Elektroda FP1-FP2

Dan Elektroda F3-F7 sangat bagus menggunakan biortogonal.

Daftar Pustaka

- Acharya, U.R., Subbhuraam, V.S. and Chattopadhyay, S., 2012, Automated diagnosis of epileptic eeg using entropies, journal of Biomedical Signal Processesing Control, 7:401-408.
- Acharya, U.R., 2013, Automated EEG analysis of epilepsy: a review, Knowledge Based System, 45:147–165.
- Harikumar, R., Kumar, P.S., 2015, Frequency behaviours of electroencephalography signals in epileptic patients from a wavelet thresholding perspective, Appl. Math. Sci. 9, 2451–2457.
- Qing, J.S., 2017, Feature Selection Based on FDA and F-score For Multi-Class Classification, Journal of Expert Systems With Applications, 81:22–27
- Sakthi, K., 2014, Fisher Score Dimensionality Reduction for SVM Classification International Journal of Innovative Research in Science, Engineering and Technology, Vol. 3, Special Issue 3
- Dazi, L. and Xie, Q., 2016, A sequential method using multiplicative extreme learning machine for epileptic seizure detection, Journal of Neurocomputing, 214:692–707
- Chen, L-L., Zhang, J., Zou, J-Z., Zhao, C-J., Wang, G-S., 2014, A framework on wavelet-based nonlinear features and extreme learning machine for epileptic seizure detection, Biomed. Signal Process. Control 10:1-10

2021



e-jurnal

UNIVERSITAS MUHAMMADIYAH SEMARANG

Gedung Rektorat Lantai V

Jl. Kedungmundu Raya No. 18 Semarang

phone: +62 24 76740296 ext. 501, Fax: +62 24 76740291

email: tik@unimus.ac.id | tik.unimus@gmail.com

Semarang, 28 Nopember 2021

Nomor : 009/LoA/ME/VIII/2021
Lampiran : -
 Hal : Pemberitahuan Artikel Layak Terbit

Kepada Yth.

Sswandari Noertjahjani, ST, MT

Assalamu'alaikum Wr. Wb

Berdasarkan artikel Bapak/Ibu yang diajukan ke redaksi Media Elektrika dengan judul:

PERBEDAAN EEG EPILEPSI DENGAN MENGGUNAKAN WAVELET PADA ELEKTRODA FP2-FP1 DAN F3-F7

Bersama ini kami sampaikan bahwa hasil penilaian dari mitra bestari dan sidang dewan redaksi, artikel Bapak/Ibu layak dimuat di **Media Elektrika Vo. 14 No. 2 , 30 Desember 2021**

Atas perhatian dan kerjasamanya kami ucapan terima kasih

Wassalamu'alaikum Wr. Wb

Editor in Chief


MEDIA ELEKTRIK
JURNAL TEKNIK ELEKTRIK
L. KASIPAH NO. 12 SEMARANG
Dina Mariani, ST, MT
 NIK. CP.1026.058